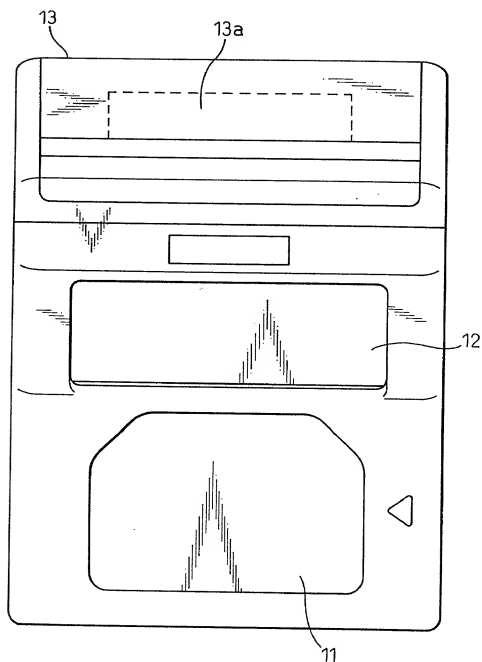


Fig. 1



09854589.051501

Fig. 2

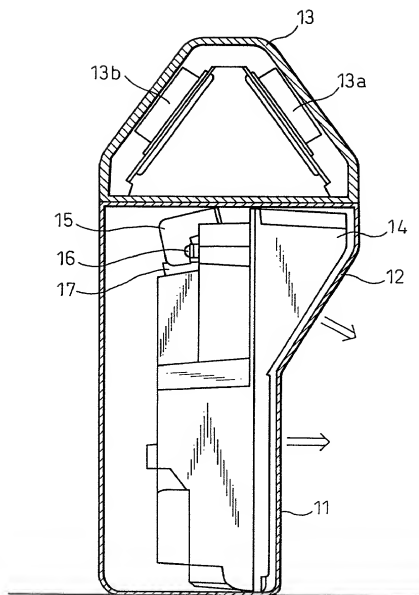


Fig. 3

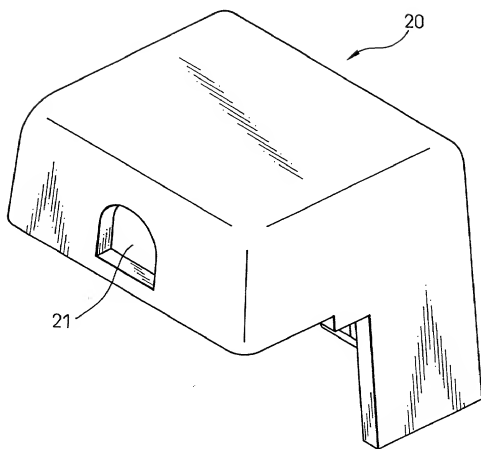


Fig. 4

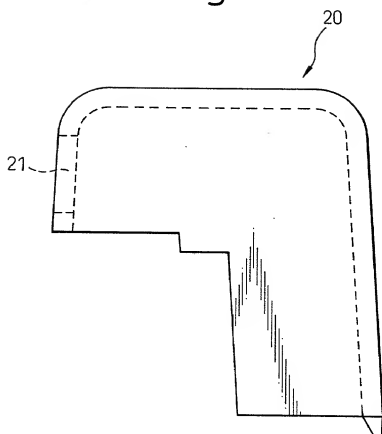


Fig. 5A

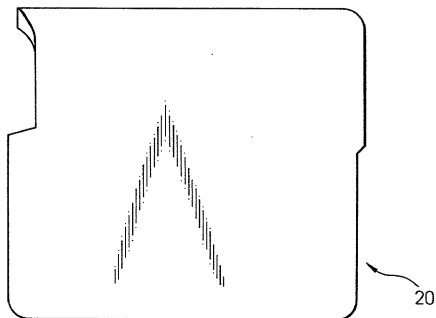


Fig. 5B

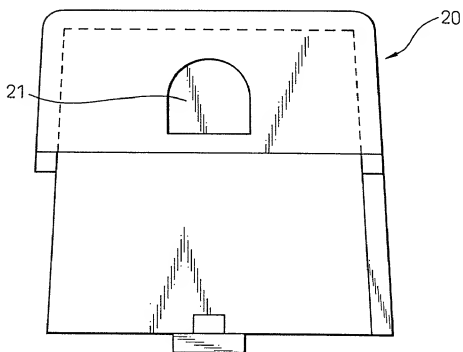


Fig. 6A

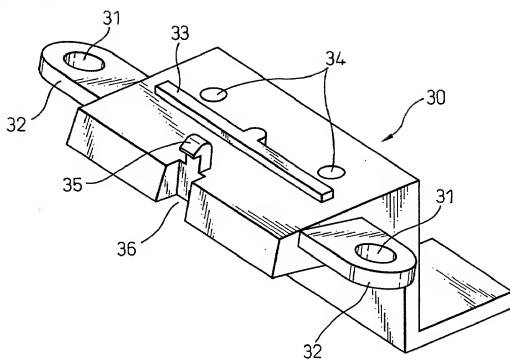
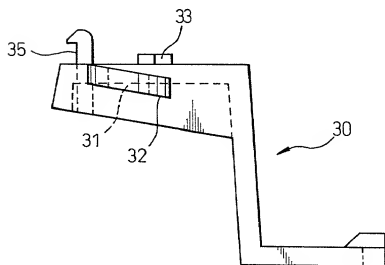


Fig. 6B



7/30

Fig. 7

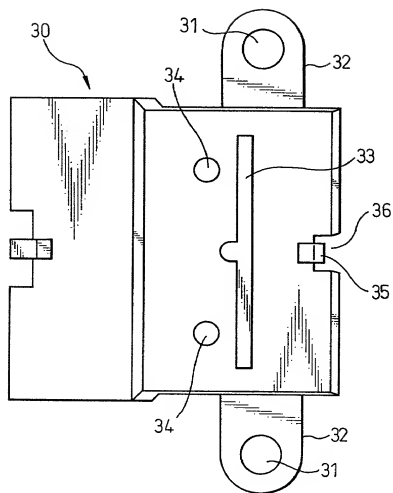


Fig. 8

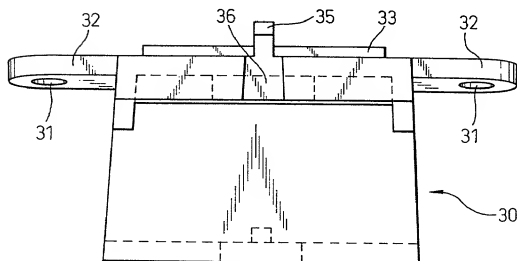


Fig. 9

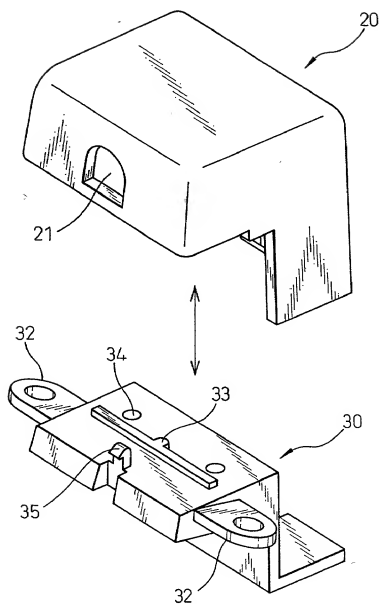




Fig. 10

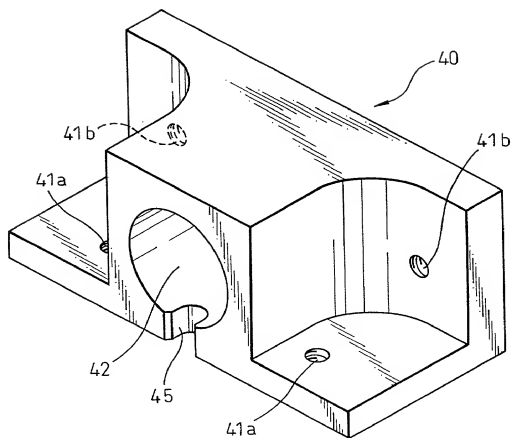


Fig.11A

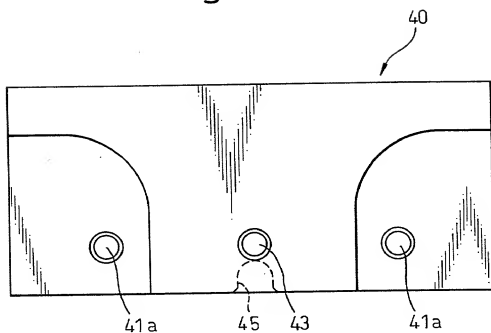


Fig.11B

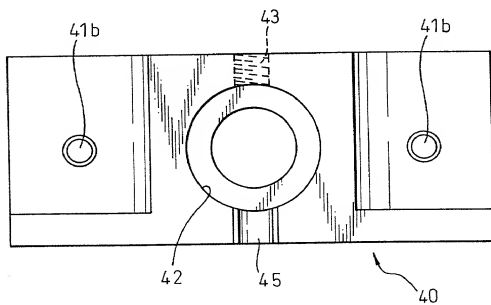


Fig. 12

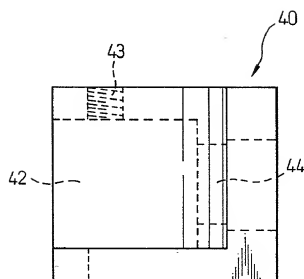


Fig. 13

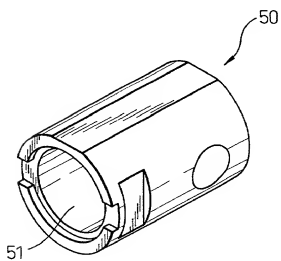


Fig. 14A

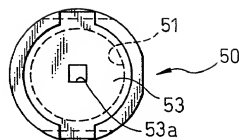


Fig. 14B

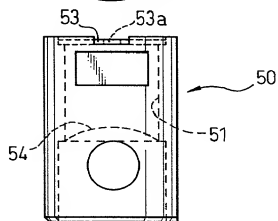


Fig. 15

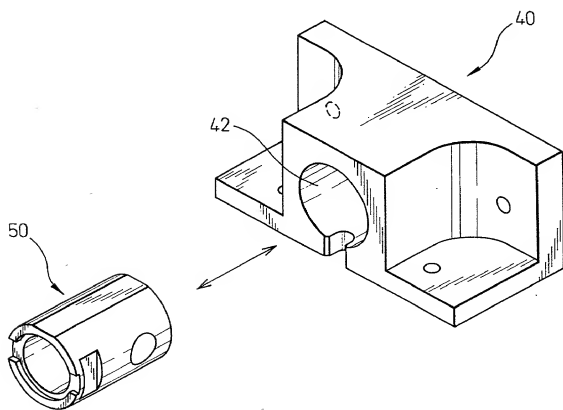


Fig.16A

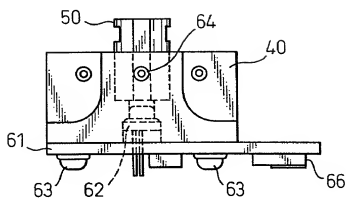


Fig.16B

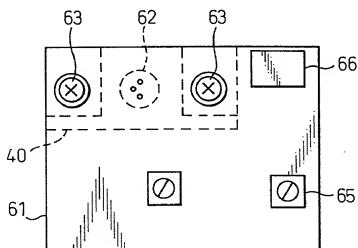


Fig.16C

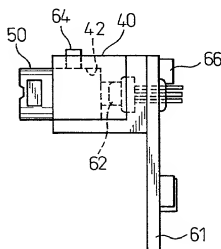


Fig. 17

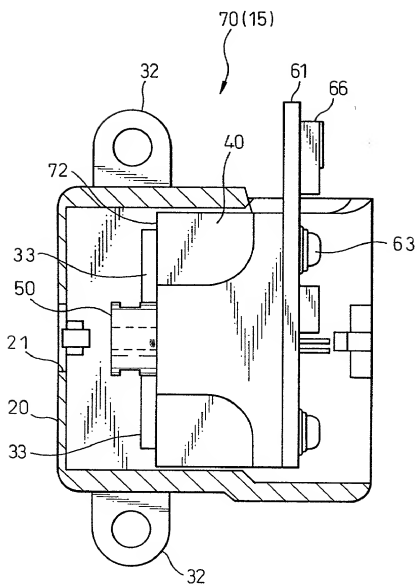


Fig. 18

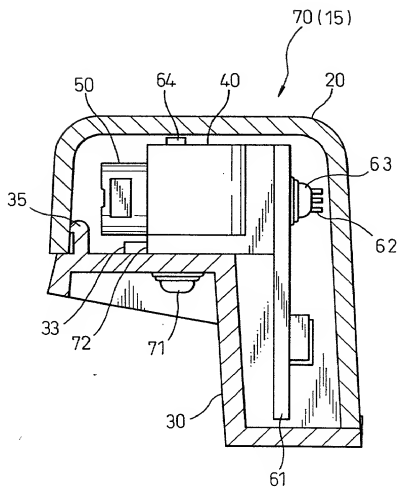


Fig. 19

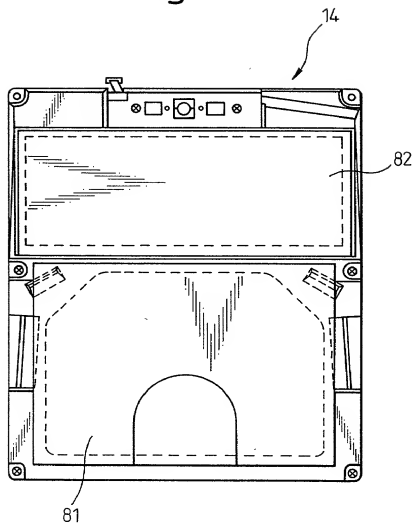




Fig. 20

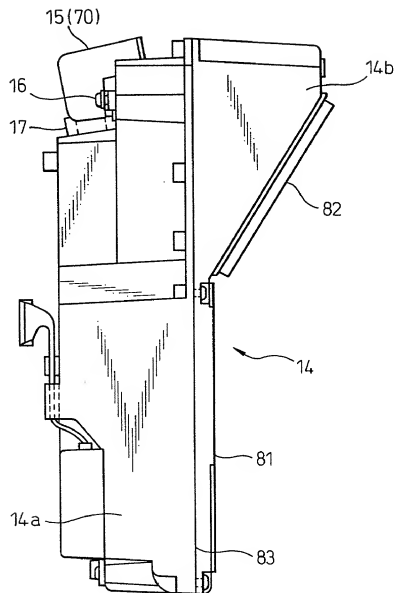
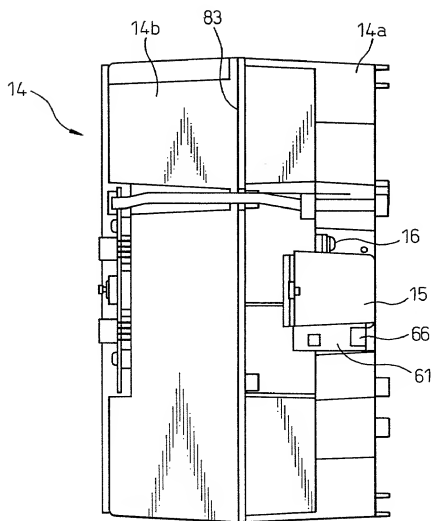


Fig. 21



00854689 051501

Fig. 22

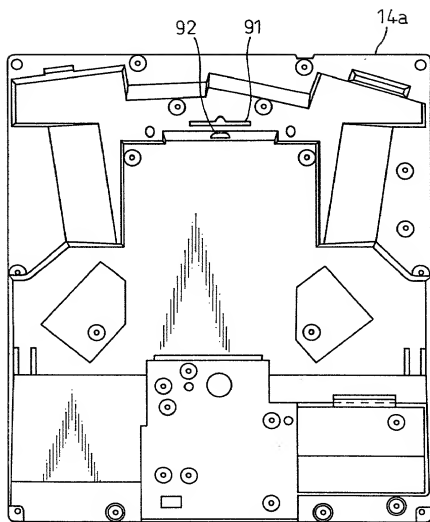


Fig. 23

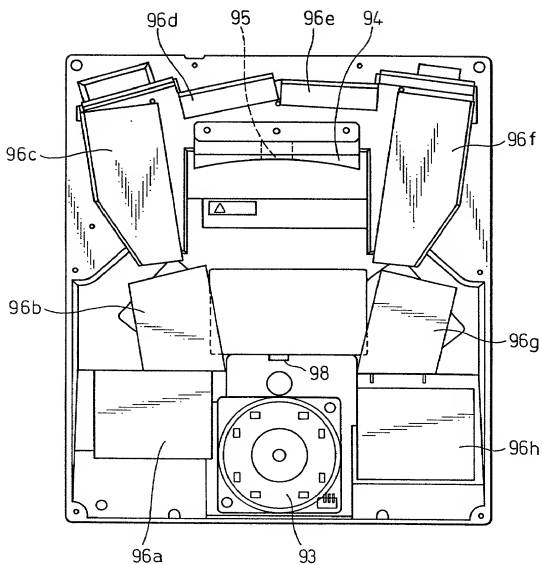


Fig. 24

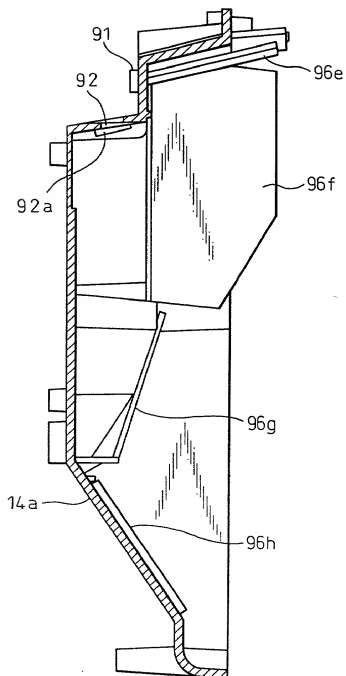


Fig. 25

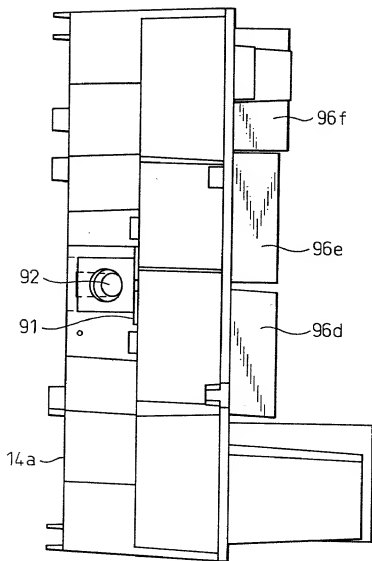


Fig. 26

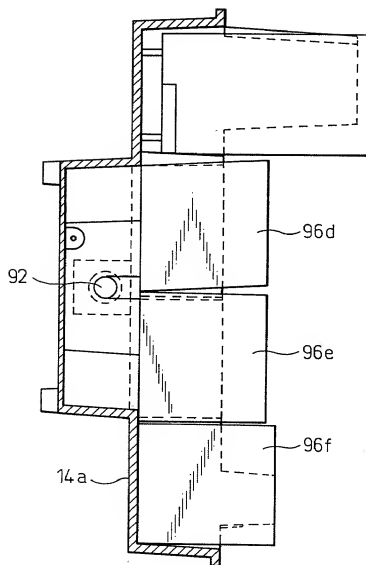


Fig. 27

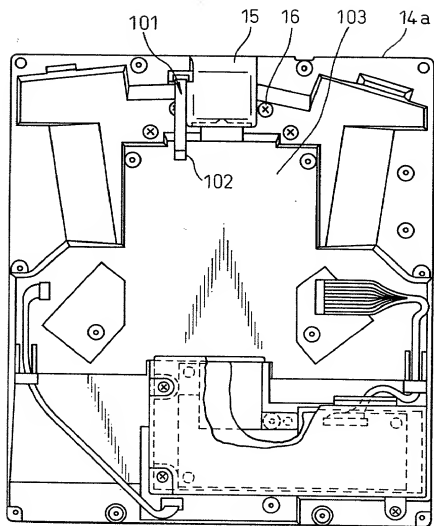




Fig. 28

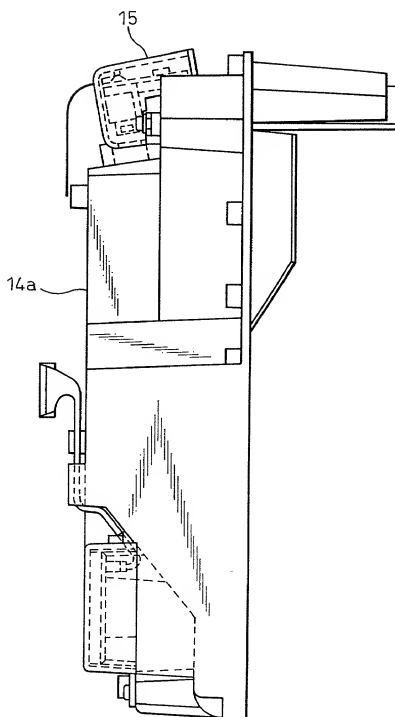


Fig. 29

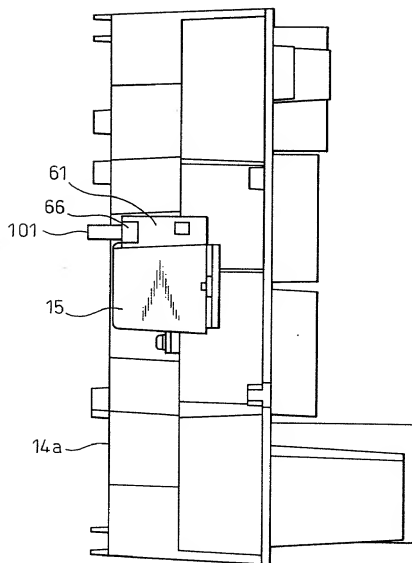


Fig. 30

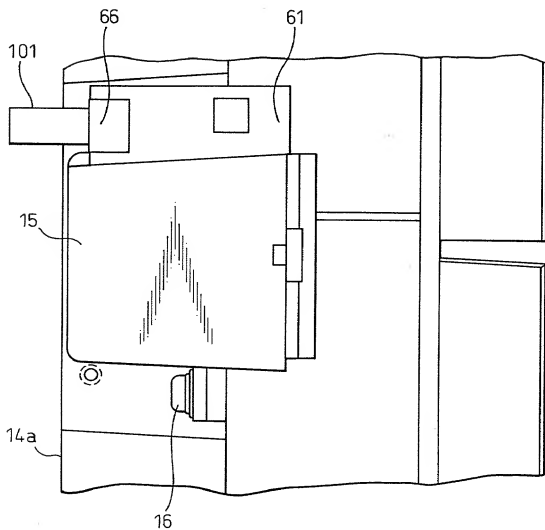




Fig. 32

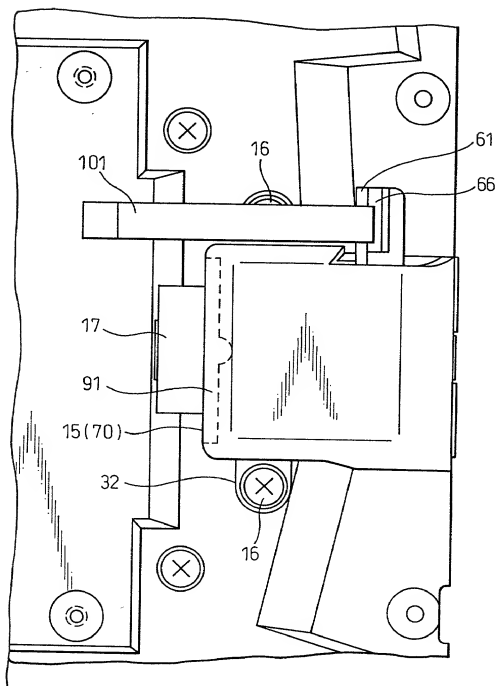


Fig. 33

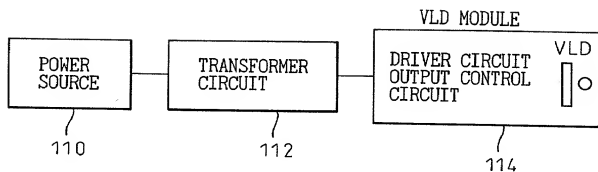


Fig. 34

PRIOR ART

